

폴리에스테르 延伸 필름의 構造와 物性

Structure and Properties of Oriented Poly(ethylene terephthalate) Films

정상훈*, 김성철*

1. 序論

폴리에틸렌 테레프탈레이트(PET)는 製造工程에 따라 물질로지가 변하는 結晶性 高分子이다. 즉, 유리轉移溫度(T_g) 이하에서 급속히 冷却시키면 無定形 상태를 얻을 수 있고 T_g 이상에서 加熱하거나 溶融物을 서서히 冷却시키면 結晶化가 進行되어 불투명한 球晶形態(spherulitic morphology)를 나타내기도 한다. 無定形 PET는 機械的, 熱的性質이 不良하여 商業的 가치가 적으로 配向과 热處理工程을 거쳐 結晶化度를 높히고 物性을 개선시켜 필름이나 纖維로 사용하게 된다.

폴리에스테르(PET) 필름은 1954년 du Pont社와 ICI社에서 tenter法에 의한 逐次 二軸延伸 필름製造工程이 開發되면서부터 工業화가 이루어졌다.

Table 1. Estimated Consumption of PET Film (1980)

	U.S.		Japan	
	Metric tons M/T ($\times 1,000$)	Percent %	Metric tons M/T ($\times 1,000$)	Percent %
Photographic Film	70	36	15	28
Magnetic Tape	32	17	13	25
Packaging	18	9	8	15
Stationery and Drafting	14	7	4	8
Electrical	11	6	5	9
Others	47	25	8	15
Total	192	100	53	100

* 한국과학기술원 화공과(Sang Hoon Jung and Sung Chul Kim, Dept. of Chemical Engineering, Korea Advanced Institute of Science and Technology, Seoul 131, Korea)

은 폴리에틸렌(PE)이나 폴리프로필렌(PP)과 같은 高結晶性 高分子의 變形에 관한 것이 대부분이다. Takayanagi와 Kajiyama²⁰는 結晶性 高分子의 延伸에 대한 모델로서 타렐라 結晶이 파괴되어 모자이크 블록 形態로 轉換되는 變形(deformation) 메카니즘을 제안했다. Peterlin²¹과 Prevorsek²²의 모델도 이와 유사한 것으로서, 이들은 처음의 球晶型 構造가 파괴되어 纖維狀構造로 變形되는 두 段階의 變形過程을 갖는다고 주장했다. Fig.1 (a), (b)에 나타난 바와 같이 配向이 進行됨에 따라 microfibril^[s] 생기고 結晶 블록이 非結晶領域과 빗갈아 가면서 延伸方向으로 配列되며, 블록이 分리되는 동안 部分적으

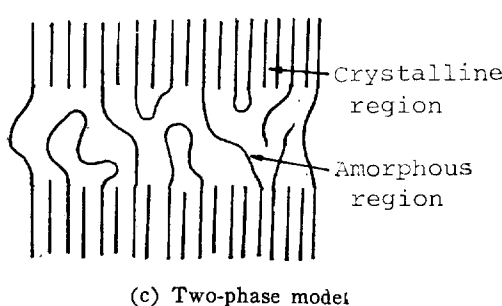
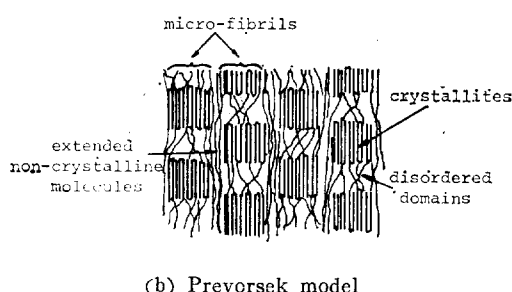
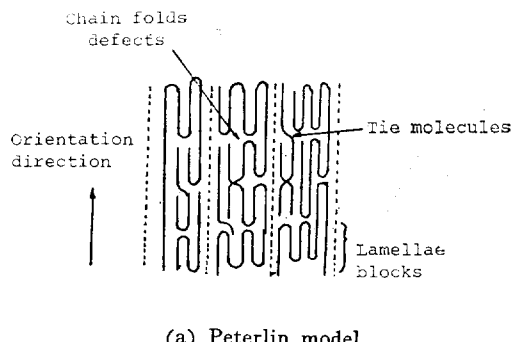


Fig. 1. Deformation mechanism of PET films.

로 사슬이 폴리미트 非結晶性 연결 사슬(tie chains)이 생긴다. 그러나 PET는 PP나 PE와는 달리 低結晶性 高分子로서 配向이 進行되는 동안 非結晶 상태로부터 結晶화가 일어나므로 위와 같은 모델로는 완전한 설명이 어렵다.

PET에서의 結晶화 메카니즘을 Fig.1 (c)와 같이 結晶領域과 非結晶領域으로 이루어진 two-phase모델로 설명하면 다음과 같다. 結晶領域에서는 글리콜 단위가 Fig.2 (a)와 같은 trans conformation을 이루고, 非結晶領域에서는 gauche와 trans conformation의 두 가지 형태로 존재하므로 配向이 進行됨에 따라 弛緩된 gauche form이 緊張된 trans form으로 전환하게 된다. 즉, 이러한 异性體 轉換 현상이 PET에서 配向結晶화를 주도하는 주요 메카니즘이다.

2-2. 配向函數

結晶性 高分子의 경우 配向度는 加工條件에 의

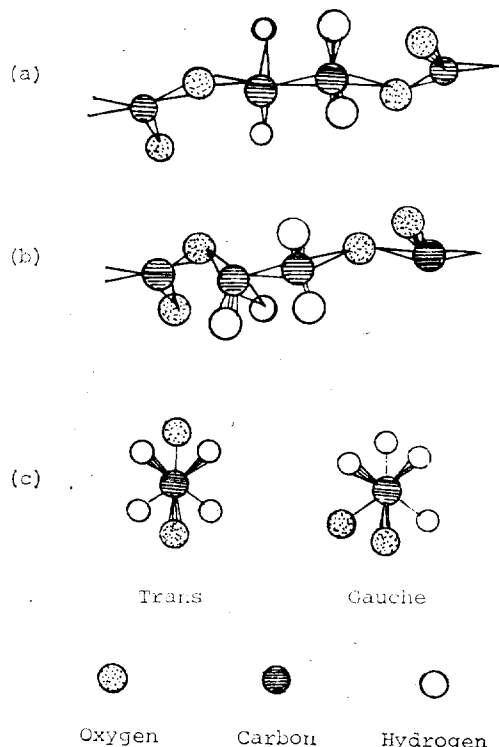


Fig. 2. Diagrams of (a) the trans conformation; (b) the gauche conformation; (c) end views.

해 큰 影響을 받으며 加工物의 機械的 性質을 반영하게 된다. 따라서 延伸 필름의 配向狀態를 定量的으로 평가하는 것은 대단히 중요하다.

配向分布의 二次 모멘트를 나타내는 配向因子(orientation factor)는 高分子 필름의 配向度를 결정하는데 매우 유효하며 複屈折(birefringence)^{17,23}, X線回折^{6,17,24}, IR^{23,25} 等으로 측정할 수 있다. 結晶性高分子에서는 廣角 X線散亂(WAXS)과 極點圖(pole figure)^{26,27}를 사용하면 전체적인 配向分布 상황을 알 수 있다.

配向因子(orientation factor)로써 二軸配向을 표시하는 방법은 처음 Stein²⁸에 의해 試圖되어 Kawai^{29,30} 등과 Desper와 Stein³¹, White와 Spruiell³²에 의해 일반화되었다. Stein과 Kawai 등은 配向因子를 特定方向에 대하여 표시된 Euler角으로 定義하였고, Desper와 Stein³¹은 結晶軸(crystallographic axis)과 縱橫方向(MD, TD) 사이의 cosine角의 제곱 평균값을 사용하였다. White와 Spruiell³²은 polarizability 또는 attenuation tensor와 Stein 등이 사용한 角의異方性에 기초를 둔 二軸配向因子를 다음과 같이 提示하였다. 高分子軸에 대한 Hermans配向因子는 아래 두 가지 式으로 표시된다.

$$f_1^B = 2\overline{\cos^2\phi_{c1}} + \overline{\cos^2\phi_{c2}} - 1 \quad (1-a)$$

$$f_2^B = 2\overline{\cos^2\phi_{c2}} + \overline{\cos^2\phi_{c1}} - 1 \quad (1-b)$$

여기서 添字 c 는 軸方向을 의미하고 1, 2는 基準方向, 예를 들면 縱橫方向을 각각 나타낸다.

縱方向에 대해 一軸配向인 경우

$$\overline{\cos^2\phi_{c2}} = \overline{\cos^2\phi_{c3}} \quad (2)$$

이므로

$$f_1^B = \frac{1}{2}(3\overline{\cos^2\phi_{c1}} - 1) \quad (-a)$$

$$f_2^B = 0$$

(3-b)

가 된다. 즉, 二軸配向因子의 하나는 Hermans配向因子가 되고 다른 값은 0이 된다. 結晶性高分子의 경우 White와 Spruiell이 제안한 (1)式은 아래와 같이 一般化될 수 있다.

$$f_{1j}^B = 2\overline{\cos^2\phi_{j1}} + \overline{\cos^2\phi_{j2}} - 1 \quad (4-a)$$

$$f_{2j}^B = 2\overline{\cos^2\phi_{j2}} + \overline{\cos^2\phi_{j1}} - 1 \quad (4-b)$$

여기서 j 는 a, b, c 結晶軸을 의미한다.

3. 延伸方法

3-1. 延伸裝置

3-1-1. 工業的延伸方法

工業的인 逐次 二軸延伸 工程의 概要를 보면 Fig.3과 같다. 溶融된 樹脂를 T-die로부터 押出시킨 다음 冷却 드럼위에서 急冷하여 無定形 상태로 固化시키고 加熱된 roll사이를 지나는 동안 回轉速度 차이를 이용하여 縱方向(machine direction)으로 延伸시킨다. 縱延伸이 끝난 필름의 양끝을 clip으로 把持하여 加熱室(tenter frame)로 導入시키고, 熱風下에서 橫延伸한 다음 热處理를 행한 후 冷却하여 引取(trimming) 및 卷取(winding)한다. 이러한 逐次 二軸延伸法中에는 처음 tenter에서 橫延伸을 한 다음 縱方向으로 高倍率延伸하는 方法³³과 縱一橫一縱三段階延伸으로 縱方向의 抗張力を 증가시키는 方法³⁴, 다시 橫方向(transverse direction)으로延伸하여 橫方向의 抗張력을 높히는 方法³⁵ 등이 있는데, 이러한 方法들은 모두 超薄膜(ultra-thin)化된 高強度性(tensilized)필름 제조를 目的으로 한다.

3-1-2. 實驗用延伸裝置

Fig.4는 高分子 필름의 實驗用延伸裝置의 한 가지 例^{36,37}로서, 一軸 또는 二軸 方向으로延伸

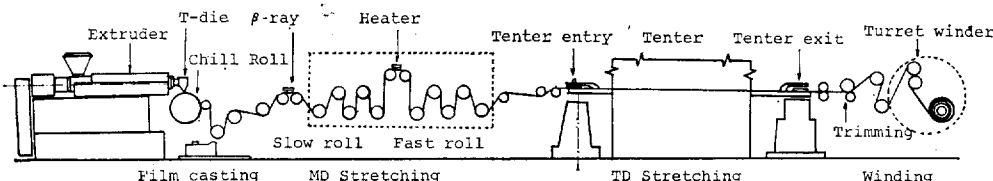
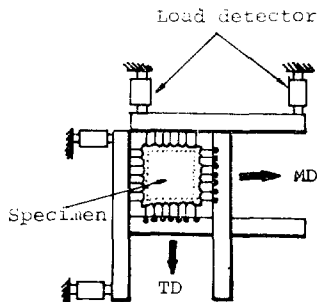
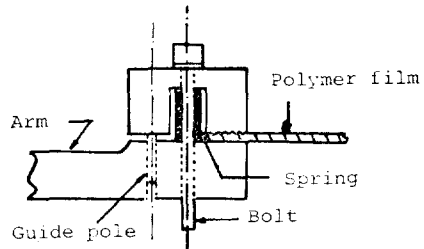


Fig. 3. Process line for successive biaxial orientation of PET films.



(a) mechanism of the biaxial orientation tester.
Fig. 4. Biaxial orientation equipment.



(b) schematic diagram of a chuck.

倍率이 可變될 수 있고 延伸溫度와 延伸速度 또는 延伸應力이 임의로 調整될 수 있도록 設計되어 있다. 이와 같은 乾熱法 二軸延伸 裝置는 延伸部, 動力部, 加熱部 등 主要 세부분으로構成된다. 延伸部에서는 필름을 把持하여 兩軸으로 移動시키는 부분이며, 動力部는 延伸部의 驅動源으로서 보통 油壓式으로 延伸速度가 連續的으로 可變制御되고 있다. 加熱部에서는 赤外線 加熱方式을 用하고 있어서 電壓을 制御함에 따라 延伸溫度가 均一하게 調節된다. 이때 가장 중요 것은 필름의 정확한 溫度를 알아내는 일로써, 필름 위에 有機物 結晶을 放고 融解點을 조사하고 熱電帶 指示溫度를 보정시켜 사용한다.

3-2. 延伸條件 設定

延伸條件으로서 가장 重要한 因子는 延伸溫度, 熱溫度, 延伸速度, 热處理溫度 等이며 工業的으로는 延伸所要應力, 分子配向度 및 結晶化度를 考慮해서 결정되어야 한다. 延伸溫度는 分子鎖의 microbrown 運動이 충분히 可能하고, 延伸方向과 수직인 方向으로의 적당한 分子間力이維持될 수 있도록 T_g 와 冷結晶化 溫度(cold crystallization temperature)²³範圍($70^{\circ}\text{C} \sim 130^{\circ}\text{C}$)內에서 적당히決定한다. 延伸溫度는 工業的으로 生產性에 가장 큰 영향을 주는 因子로서 分子의 配向性과 應力緩和 speed, 結晶化 speed, 内部摩擦熱과 같은 요인이考慮되어야 한다.豫熱條件은 필름의 延伸性에 가장 큰 영향을 주며 結晶化 speed 및 核成長速度와 热傳導性에 의해決定되어 진다. 後熱處理條件은 應力緩和 speed와 加熱 結晶化 speed에 따라 결정되어 結晶화에

의한 物性 向上을 主목적으로 한다.

4. 構造와 物性 變化

4-1. 機械的 性質

Table 2²⁰는 세 가지 延伸方式에 따른 機械的性質의 變化를 보여주고 있다. 一軸延伸 方法에 있어서 配向에 따라 MD방향으로의 物性은 항상 하나 TD방향으로는 오히려 減少하며, 逐次 二軸延伸法에서는 MD延伸으로 생긴一面一軸配向(uniplanar-axial orientation)²⁴이 TD延伸으로 減殺되므로 MD方向의 機械的 강도는 감소한다. 한편 同時 二軸延伸(simultaneous biaxial orientation) 필름에서는 兩軸 方向으로의 機械的性質이 거의 均衡點을 나타내며, 같은 延伸倍率(面積比率)下에서 逐次 二軸延伸 필름보다 弹性率은 작지만 引張強度는 우수함을 볼 수 있다. 配向에 의해 機械的 強度가 向上되는 이유는 다음과 같이 설명된다. 配向된 물체를 늘리거나 破斷시키기 위해서는 共有結合力を 克服해야 하지만 無配向 사료에서는 共有結合力보다 아주 작은 van der Waals 힘만을 克服하면 延伸이 되기 때문에 配向度 증가에 따라 弹性率과 強度가 다같이 증대된다.

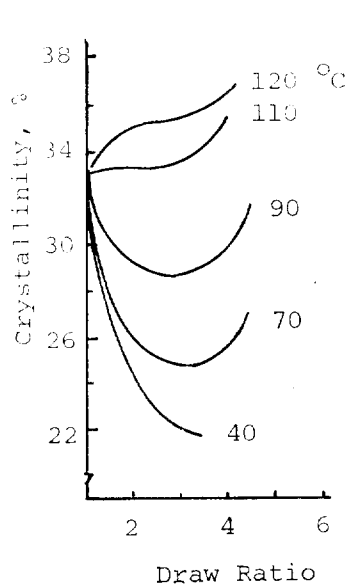
4-2. 結晶化 舉動

4-2-1. 結晶化度 變化

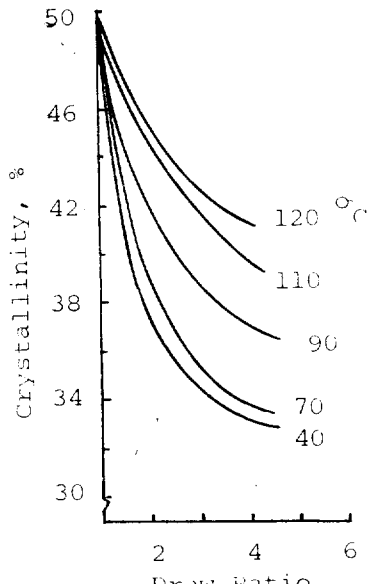
延伸溫度와 延伸倍率에 따른 結晶化度 變化를 Fig. 5²⁵에 圖示하였다. 無定形 PET필름은 延伸에 따라 結晶化度가 항상 증가하지만, 中結晶性 사료(初期 結晶化度 : 33%)는 低延伸 領域에서는 처음의 結晶이 깨져서 結晶化度가 오히려 減

Table 2. Mechanical Properties of PET Films Stretching temp. : 100°C
Strain rate : 300%/min Heat-set temp. : 110°C×15min

Method of Stretching	Stretching ratio (MD×TD)	Thickness (μ)	Direction	Tensile Strength (kg/mm ²)	Elongation at break (%)	Young's Modulus (kg/mm ²)
Unstretched	1.0×1.0	140	MD TD	5.8 6.7	410 435	200 230
Constrained Uniaxial	2.0×1.0	70	MD TD	7.6 4.6	270 360	230 220
	4.0×1.0	35	MD TD	20.0 3.7	48 340	610 210
	2.0×2.0	35	MD TD	5.9 9.5	140 280	300 360
Successive Biaxial (heat-set)	4.0×2.0	15	MD TD	7.1 8.8	130 140	410 460
	4.0×4.0	10	MD TD	5.1 15.1	210 77	230 500
	2.0×2.0	35	MD TD	8.2 8.1	270 290	130 160
Simultaneous Biaxial (heat-set)	$\sqrt{8} \times \sqrt{8}$	—	MD TD	15.0 14.0	180 175	190 195
	3.0×3.0	15	MD TD	17.0 15.2	170 150	210 210
	4.0×4.0	10	MD TD	20.0 20.0	130 130	240 240



(a) Initial crystallinity (33%)



(b) Initial crystallinity (50%)

Fig. 5. Percent crystallinity vs. extrusion draw ratio at different extrusion temperatures.

少한다. 高延伸領域(Draw Ratio : 3.5倍 이상)에서는 配向結晶化現象이 일어나 結晶의破壊를 相殺시키므로 結晶化度는 다시 증가한다. 그러나 高結晶性시료(初期結晶化度: 50%)는 非結晶領域이 結晶에 의해 둘러싸여 있어서延伸倍率이 증가하더라도 結晶化度는 증가하지 않음을 볼 수 있다. 또한延伸溫度가 증가하면 結晶化速度가 빨라지므로 初期의 結晶狀態에 관계없이 항상 증가한다.

4-2-2. IR 测定

PET에서 chain fold와 같은構造分析을 하는데 있어서 IR분석법은 상당히 有效한方法이다. 赤外線吸收 강도에 영향을 주는因子는構造의因子(structural factor)와配向因子(orientation factor)로 나뉘어 있는데, PET필름에서는 600 cm^{-1} 에서 $1,100\text{ cm}^{-1}$ 사이의 波長領域에서 Table 3과 같은吸收特性을 갖는다⁴⁰. 配向 및構造에 敏感한吸收帶로서弛緩된形태(relaxed form, gauche)인 896 cm^{-1} , $1,042\text{ cm}^{-1}$ 영역과緊張된形態(extended form, trans)인 848 cm^{-1} , 973 cm^{-1} 흡수대가 존재하는데, 이 두가지 형태는回轉異性體로서 앞에서 밝힌 바와 같이配向에 따라 gauche로부터 trans로 전환한다. 973 cm^{-1} 흡수대는結晶領域에서 주로 나타나지만非結晶領域에도 존재⁴¹하여, 896 cm^{-1} 흡수대는非結晶領域에만 존재하므로非結晶性 정도

Table 3. Characteristics of IR Absorption Bands of PET Films

Absorption wavenumber (cm^{-1})	Absorption Group	Characterization
795	in-plane bending of ring C-H	orientation sensitive
848	methylene HCH rocking	trans
875	out-of-plane bending of ring C-H	orientation sensitive
896	methylene rocking	gauche
973	OC stretching of O-CH ₃	trans

를推定하는데 이용된다. 한편 988 cm^{-1} 흡수대는regular chain folds의存在를결정지워주는 흡수대⁴¹로서配向에 따라 강도가 감소한다.延伸에 따른IR 특성 흡수대의 dichroic ratio의 변화를 보면 Fig. 6⁴²과 같다. 配向이進行됨에 따라 trans 양을 나타내는 848 cm^{-1} 와 973 cm^{-1} 의 값은 점차 증가하고 gauche를 나타내는 896 cm^{-1} 의 값은 다소 감소함을 보여준다. 그러나高延伸率(draw ratio : 3.5倍 이상)에서는一面配向(uniplanar orientation)²⁴을 하므로 848 cm^{-1} 와 973 cm^{-1} 흡수대의 DR은 오히려 감소한다.

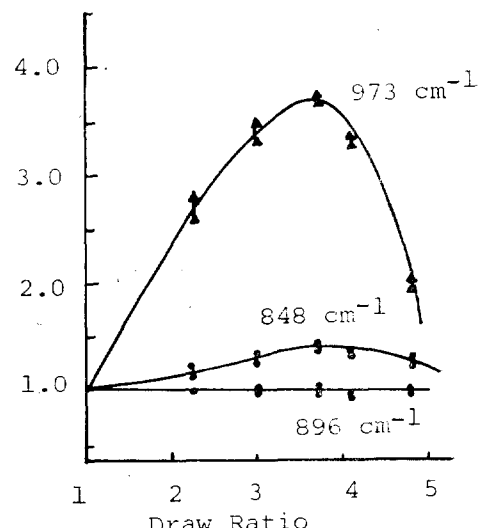


Fig. 6. Dichroic ratio at 848 , 896 and 973 cm^{-1} as a function of draw ratio.

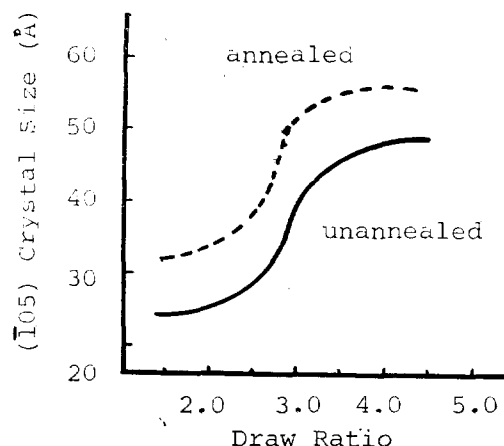
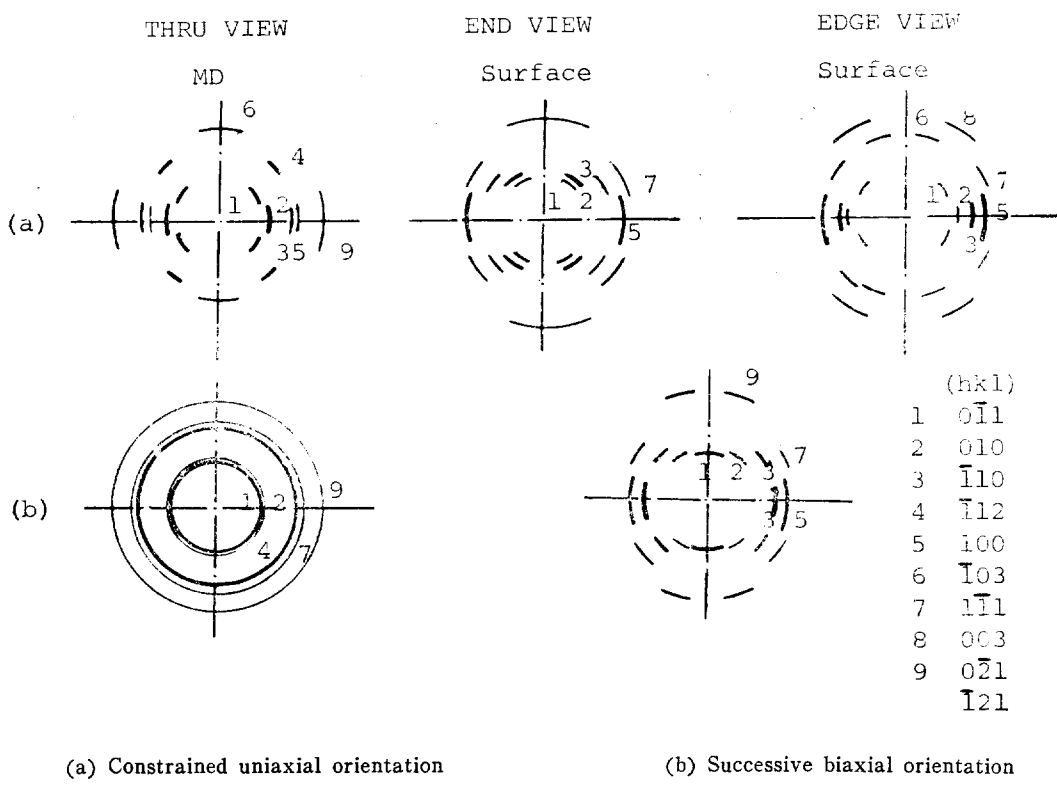
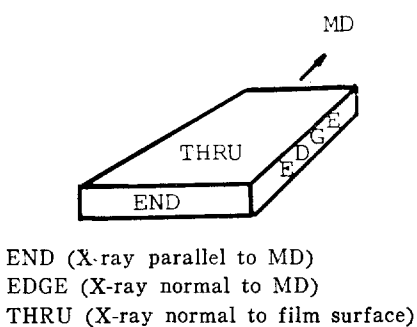


Fig. 7. Variation of the crystal size.

4-2-3. X線回折

X線測定法으로는 PET필름의結晶性有無와結晶化度,結晶領域의크기,選擇配向의樣式등여러가지情報を얻을수있다.

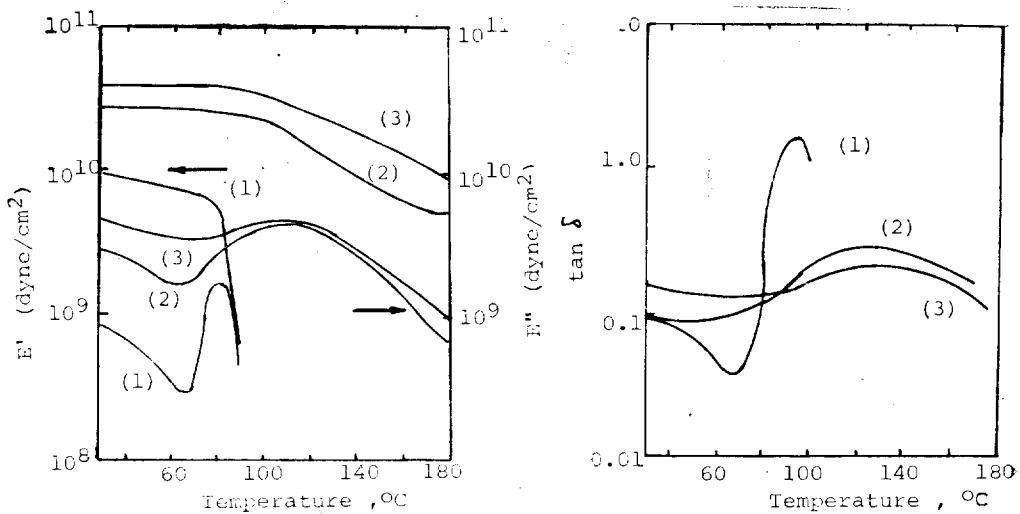
Fig.7⁴³은延伸에따른結晶의크기變化를나타낸것으로配向과熱處理에의해結晶크기가증가함을볼수있다. Fig.8¹⁴에는廣角X線回折法에의한配向舉動을圖式化하였다. 앞서말



한바와같이逐次二軸延伸필름의경우, MD方向延伸에의해서(100)면이필름면에거의평행하게配向되고c軸이延伸方向(TD)과평행하게一面一軸配向(uniplanar-axial orientation)²⁴된다음,後段延伸(TD)으로面內random配向,즉選擇的一面配向을거치면서TD方向으로再配向됨을알수있다.

4-3. 動的粘彈性舉動(Dynamic viscoelastic behaviour)

PET필름의動的粘彈性特性,즉tan δ ,動的彈性率(storage modulus, E'),動的損失(loss modulus, E'')의온도의존성을보면Fig.9¹⁸와같다. 이들특성은配向方式,配向度,配向結晶화등에영향을받으며일반적으로E',E''은延伸에따라증가하고E''곡선의頂點은高溫측으로移動한다. 또한T_g에對應하는tan δ_{max} 온도는高溫측으로移動하여값은점점減少함을알수있다.



(a) E' and E'' vs. Temp.

(b) $\tan \delta$ vs. Temp.

Fig. 9. Dynamical viscoelastic properties of PET films (uniaxial orientation with free width)
Draw Ratio (1) 1.5 (2) 3.0 (3) 4.0

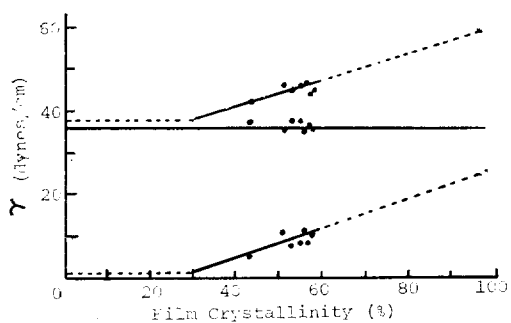


Fig. 10. The surface energy γ_s (top curve), including dispersion γ_d^s (middle curve) and polar γ_p^s (bottom curve) contributions vs. the percent crystallinity of PET films.

4-4. 表面性質變化⁴⁴

PET필름의後加工에큰영향을주는表面狀態變化를 투과형전자현미경(TEM)사진을통해보면,延伸方向과直각방향에따라起伏이점점증가하다가高延伸領域에서는오히려감소하여평탄하게됨을알수있다.또한結晶화度에따른表面張力をKaelble法⁴⁵으로측정한결과를보면Fig.10⁴⁶과같다.結晶화度가30%이

하일때는표면에너지변화가거의없다가30%이상에서는PET內의카르보닐基狀態變化를반영하여極性力成分은증가하고分散力成分은거의변화가없어서전에너지증가함을보여준다.

4-5. 기타 물성 변화

PET필름의透明度(transparency),濁度(haze)와같은光學的(optical)性質과熱傳導度⁴⁷,熱膨脹係數等의熱的性質⁴⁸및物質透過性(transport property)^{12,17}은화학구조와分子配向이일어나는加工條件에따라큰차이가있어서商業의인측면에서는상당히중요시되고있으나本稿에서는省略하기로한다.

5. 展望

지금까지폴리에스테르延伸필름의構造와物性變化에대해簡略하게살펴보았다.最近이分野에관한學問의인 관심은점차감소되고있으나應用分野에서는아직도해결되어야할技術의인課題가많다고생각된다.

마지막으로폴리에스테르필름의연신에관한最近의技術開發動向에대해서記述하고자한다.最近의延伸技術開發방향은한마디로二軸

延伸效果의 極限追求에 있다고 본다. 첫째로, 필름 두께의 超薄膜(ultra-thin)化傾向으로서 이 1.5미크론의 콘덴서용 필름(capacitor film)이 市販中에 있고, 機能性 分離膜(functional membrane)材料로서 適用方法이 檢討되고 있다. 둘째로, 첫수 안정성이 우수한 高强度性 필름(tensilized film)開發이 소청되고 있으며, 셋째로 熱接着性, 高透明 除電性(antistatic), 焦電性等 특수 기능을 부여할 목적으로 表面加工이나 複合加工이 隨伴된 새로운 延伸方法을 模索中에 있다.

参考文獻

1. H. Park, *Packaging Industry (Korea)*, **7**, 50 (1984).
2. *Plastic World*, April, p.21 (1983).
3. K.K. Mocherla and J. P. Bell, *J. Polym. Sci. Polym. Phys. Ed.*, **11**, 1779 (1973).
4. A. Misra and R. S. Stein, *J. Polym. Sci. Polym. Phys. Ed.*, **17**, 235 (1979).
5. I. J. Hutchinson, I. M. Ward, H. A. Willis and V. Zichy, *Polymer*, **21**, 55 (1980).
6. M. Matsuo, M. Tamada, T. Terada, C. Sawatari and M. Niwa, *Macromolecules*, **15**, 988 (1982).
7. T. Terada, C. Sawatari, T. Chigono and M. Matsuo, *Macromolecules*, **15**, 998 (1982).
8. C. J. Heffelfinger and P. G. Schmidt, *J. Appl. Polym. Sci.*, **9**, 2661 (1965).
9. C. J. Heffelfinger and E. L. Lippert, Jr., *J. Appl. Polym. Sci.*, **15**, 2669 (1971).
10. J. M. Hawthorne, *J. Appl. Polym. Sci.*, **26**, 3317 (1981).
11. A. J. De Vries and C. Bonnebat, *J. Polym. Sci. Polym. Phys. Ed.*, **58**, 109 (1977).
12. S. A. Jabarin, *Polym. Eng. Sci.*, **24**, 376 (1984).
13. K. Matsumoto, Y. Izumi and R. Imamura, *Sen-i Gakkaishi*, **28**, 179 (1972).
14. *ibid.*, **28**, 189 (1972).
15. *ibid.*, **29**, T-377 (1973).
16. K. Matsumoto, Y. Hosoda, Y. Izumi and R. Imamura, *Sen-i Gakkaishi*, **30**, T-424 (1974).
17. N. Sakaguchi, T. Oda, A. Nakai and H. Kawai, *Sen-i Gakkaishi*, **33**, T-499 (1977).
18. M. Yokouchi, J. Mori and Y. Kobayashi, *J. Appl. Polym. Sci.*, **26**, 3435 (1981).
19. K. Matsumoto, K. Murata, M. Matsushita, N. Utsumi and S. Hagiwara, *Sen-i Gakkaishi*, **38**, T-103 (1982).
20. M. Takayanagi and T. Kajiyama, *J. Macromol. Sci. Phys.*, **B 8**, 1 (1973).
21. A. J. Peterlin, *J. Mat. Sci.*, **6**, 490 (1971).
22. D. C. Prevorsek, Y. D. Kwon and R. K. Shams, *J. Mat. Sci.*, **12**, 2310 (1977).
23. D. A. Jarvis, I. J. Hutchinson, D. I. Bower and I. M. Ward, *Polymer*, **21**, 41 (1980).
24. C. J. Heffelfinger and R. L. Burton, *J. Polym. Sci.*, **47**, 289 (1960).
25. A. Cunningham, G. R. Daries and I. M. Ward, *Polymer*, **15**, 743 (1974).
26. L. E. Alexander, X-Ray Diffraction Methods in Polymer Science, Wiley, N.Y. (1969).
27. W. E. Maddams and J. E. Preedy, *J. Appl. Polym. Sci.*, **22**, 2751 (1978).
28. R. S. Stein, *J. Polym. Sci.*, **31**, 335 (1958).
29. S. Nomura, H. Kawai, I. Kimura and M. Kajiyama, *J. Polym. Sci.*, **A-2**, **5**, 479 (1967).
30. S. Nomura, N. Nakamura and H. Kawai, *J. Polym. Sci.*, **A-2**, **9**, 407 (1971).
31. C. R. Desper and R. S. Stein, *J. Appl. Phys.*, **37**, 3990 (1966).
32. J. L. White and J. E. Spruiell, *Polym. Eng. Sci.*, **21**, 859 (1981).
33. Japan Pat. 37-1588 (du Pont).
34. Japan Pat. 34-5887 (ICI).
35. Japan Pat. 53-3784 (Toray).
36. K. Sakaguchi, S. Kawabata, H. Kawai and

- N. Hazama, *Material (Japan)*, **17**, 356 (1968).
37. S. Okajima and T. Masuko, *Sen-i Gakkaishi*, **26**, 438 (1970).
38. J.R.C. Pereira and R. S. Porter, *J. Polym. Sci. Polym. Phys. Ed.*, **21**, 1147 (1983).
39. K. Matsumoto, H. Takashima, K. Taketani and R. Imamura, *Sen-i Gakkaishi*, **26**, 417 (1970).
40. P. G. Schmidt, *J. Polym. Sci. Part A*, **1**, 1271 (1963).
41. J. L. Koenig and M. H. Hannon, *J. Macromol. Sci.*, **B 1**, 119 (1967).
42. M. Ito, J. R. C. Pereira, S. L. Hsu and R. S. Porter, *J. Polym. Sci. Polym. Phys.*
- Ed.*, **21**, 389 (1983).
43. Y. Ohya, Y. Yamamoto, Y. Saito and S. Kinoshita, *Sen-i Gakkaishi*, **31**, T-508 (1975).
44. M. Hayashi and T. Sakai, *Kobunshi Ronbunshu*, **40**, 363 (1983).
45. D. H. Kaelble and E. H. Cirlin, *J. Polym. Sci. A-2*, **9**, 363 (1971).
46. T. J. Burger, *J. Appl. Polym. Sci.*, **20**, 1143 (1976).
47. C. L. Choy, F. C. Chen and W. H. Luk, *J. Polym. Sci. Polym. Phys. Ed.*, **18**, 187 (1980).
48. J. R. C. Pereira and R. S. Porter, *Polymer*, **25**, 869 (1984).